

好気性脱窒現象に関する研究

山口大学 工学部 正員 中西 弘
 " " 正員 石川 泉孝
 山口大学大学院 水船 清司

1.はじめに

筆者らは、活性汚泥法による廃水処理プロセスにおいて好気条件下での脱窒現象について一連の基礎的研究を行なってきた。¹⁾²⁾³⁾本報告は曝気槽における硝化および脱窒作用について実験的検討を行ない、最適C/N比を求めた。又、曝気槽内のN挙動を把握する一方法として、単一曝気槽をモデル化し数値シミュレーションを試み、考察したものである。

2. C/N比と硝化・脱窒作用

(1) 実験方法: C/Nを変えるためN源は各々同量とし、C源を変化させた模ギレ尿を作成した。過去の半連続実験²⁾で高除去率を示した水温30°C、曝気量1000 ml air/minの条件でバッチ実験を行なった。模ギレ尿の測定項目を表-1に示す。

(2) 実験結果および考察; 図-1に K_1-N , NO_2-N , NO_3-N の経時変化を示す。ここで、Cは各N濃度、 C_0 は模ギレ尿投入終点と投入5

表-1 模ギレ尿測定項目

Run NO.	1	2	3	4	5
BOD (mg/l)	320	611	962	1385	1720
COD (mg/l)	288	473	691	985	1170
T-N (mg/l)	866	971	1056	1091	1266
NO_2-N (mg/l)	82	82	82	82	82
NO_3-N (mg/l)	24	24	24	24	24
BOD/T-N	0.370	0.629	0.911	1.269	1.359
COD/T-N	0.333	0.490	0.654	0.903	0.924

分後の各N濃度から試算した値である。 NO_2-N , NO_3-N は模ギレ尿投入直後、Run1, 2の実験では減少するが消滅せず、Run3, 4, 5では完全に消滅してしまった。24時間後には、Run1～4は模ギレ尿投入前の状態にはほぼ回復しているが、Run5ではほとんど消滅したままの状態である。 K_1-N をみると模ギレ尿投入後数時間でC/N比による差が生じており、Run4まではC/N比が大きくなるほど減少傾向にあるが、Run5では逆の傾向は抑制されている。

C/N比が大きくなることは有機炭素源(水素供与体)が大きくなることであり、それだけ NO_2-N の脱窒の可能性が高い。本実験においても、C/N比が高くなる(Run3～5)、 NO_2-N は模ギレ尿投入直後消滅してしまった。これはBOD酸化に必要な酸素を消費され、かつまだ不足分が NO_3-N の還元によって補なわれ、その時Nは N_2 ガスとして飛散するものと考えられる。又、单一槽における硝化作用、脱窒作用を同時に行なうプロセスでは脱窒よりなるべく硝化作用を強く必要がある。その最適C/N比は $BOD/T-N = 0.629 \sim 1.359$, $COD/T-N = 0.490 \sim 0.924$ の範囲であることが判明した。

3. 脱窒機構

好気条件下での脱窒、いわゆる好気性脱窒は、

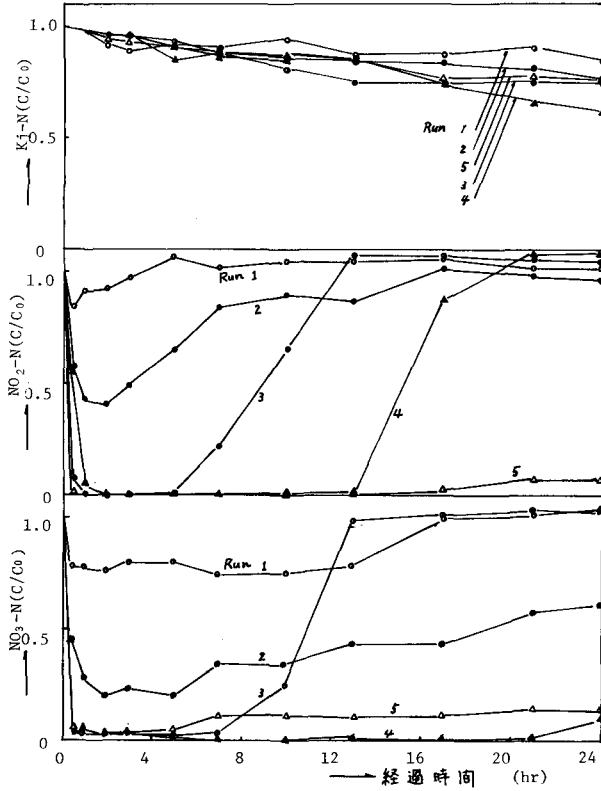
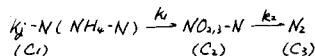


図-1 各N経時変化

单一槽内で硝化と脱窒作用が並行して進行することであり、又、脱窒の起きやすさの条件は槽内の一一部が嫌気状態を呈しているときであり、適切な N_2 等であれば起きる。バッチ実験での反応経過時間と $\text{NO}_{2-}\text{-N}$ の挙動に注目し、脱窒時、脱窒・硝化平衡時、硝化時に分けた場合、各々の次反応として直線式のことをかかわり、これを次へどうに考えた。



$$\frac{dC_1}{X dt} = -k_1 \quad \dots \text{(1)}$$

$$\frac{dC_2}{X dt} = k_1 - k_2 \quad \dots \text{(2)}$$

$$\frac{dC_3}{X dt} = k_2 \quad \dots \text{(3)}$$

ここに、 C_1 、 C_2 、 C_3 は各 N 濃度(mg/l)、 k_1 、 k_2 は各反応速度定数(mg/l hr)、 X は MLSS 濃度(mg/l)である。

表-2 にバッチ実験による硝化・脱窒作用の反応速度定数を示す。式(1)(3)より k_1 、 k_2 を決定し、式(2)に代入した。式(4)を検証するため、これを $\text{NO}_{2-}\text{-N}$ の反応速度定数の実測値と比較した。模擬レバ投入直後、 k_2 が優先し、その後 k_1 と k_2 の平衡状態が続いた後、 k_1 が優先してなる。

以上から、好気性脱窒は、脱窒・脱窒・硝化平衡、硝化作用の順に進行し、各状態とも硝化・脱窒作用が交互に行き、硝化・脱窒の連続反応、万がゆく $\text{K}_1\text{-N} \rightarrow \text{NO}_{2-}\text{N} \rightarrow \text{N}_2$ として表わせることがやがった。

4. 数値シミュレーションによる单一曝気槽内の N 挙動

過去の半連続実験、バッチ実験から実モデルの好気性脱窒現象を考えた場合、次の様なことが考えられる。(1)部分的嫌気脱水が有力であり、このことから单一曝気槽の形状は完全混合槽型よりも、押出流型が有利である。

(2)单纯な押出流型の N の挙動

素除去率 90% の説明がつきなり。なぜなら、好気性脱窒現象は直接反応式明らかであり、部分的嫌気ゾーンのみで硝化・脱窒作用を進める容積をもたない。(3)沈殿池から返送土山より流量内の $\text{NO}_{2-}\text{-N}$ のみが嫌気ゾーン内に脱窒されるのではなく量が少なり。

以上から、好気性脱窒現象の起因は曝気槽内では硝化寸近で空氣が部分的嫌気ゾーンを逆流する、いわゆる循環流が起きて乃是のと見えらる。この観点から、図-2 に示すような单一曝気槽を考え、曝気槽内の各 N の挙動を次の様なことを考慮し試算した。(1)完全混合槽では k_1 のみ優先する。(2)押出流型では循環流の有無での各 N の挙動。(3)循環流の大小。

曝気槽の分割数。これらを考慮した計算結果の一例を図-3 に示す。

これらの結果によると、循環流を考えた曝気槽が好気性脱窒現象を最もよく表わすという結果となった。

参考文献 1) 中西、石川、末木: 好気性消化槽における窒素の挙動(その4)、土木学会年次講演集(1978)

2) 中西、石川: 好気性消化槽における窒素の挙動に関する研究、昭和52年度 日本微生物資源研究会報告

3) 中西、石川: 屎尿処理における好気性脱窒について、昭和53年度

表-2 反応速度定数

Run NO.	time (hr)	$ K_1 $	$ K_2 $	$K_1 - K_2$	NO_{2-}N	CO (mg/l)	X (mg/l)
3 A	0-1	0.219	2.755	-2.536	-2.536	929.0	4790
	1-5	0.203	0.135	0.008	0.004		
	5-13	0.397	0.014	0.383	0.358		
	13-24	0.013	0.026	-0.013	-0.011		
3 B	0-1	0.114	1.392	-1.278	-1.278	779.6	6505
	1-4	0.077	0.077	0.0	0.0		
	4-12	0.210	0.043	0.167	0.166		
	12-24	0.006	0.017	0.023	0.024		
4 A	0-1	0.776	5.094	-4.318	-2.769	825.8	3035
	1-13	0.345	0.291	0.054	0.004		
	13-22	0.535	0.012	0.523	0.523		
	22-24	0.0	0.0	0.0	0.0		
4 B	0-1	0.575	2.030	-1.455	-1.456	610.4	5133
	1-10	0.095	0.086	0.009	0.008		
	10-19	0.230	0.039	0.191	0.236		
	19-24	0.038	0.050	0.012	0.012		

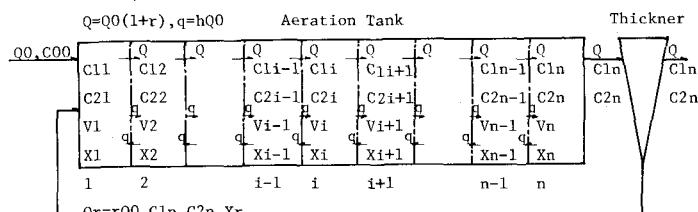


図-2 単一曝気槽の模式図

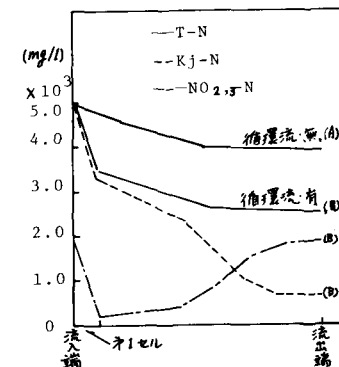


図-3 曝気槽内の各 N 濃度分布試算例